

## ΣΕΙΣΜΟΣ ΚΡΗΤΗΣ (M=6.0, 27/09/2021)

Στις **06:17 UTC** (09:17 ώρα Ελλάδας) της **27/09/2021** εκδηλώθηκε ισχυρή σεισμική δόνηση μεγέθους  **$M_w=6.0$**  στο νησί της Κρήτης, περίπου 25km NNA της πόλης του Ηρακλείου, κοντά στο Αρκαλοχώρι. Τη δόνηση ακολούθησε μετασεισμική δραστηριότητα που καταγράφηκε από το Ενιαίο Εθνικό Δίκτυο Σεισμογράφων.

Τα δεδομένα των **πρώτων 5 ημερών** μετά την εκδήλωση του κύριου σεισμού, προέκυψαν τόσο από τις αυτόματες λύσεις όσο και από τις αναλύσεις του προσωπικού δύο φορέων του Ενιαίου Εθνικού Δικτύου Σεισμογράφων:

- 1) του Σεισμολογικού σταθμού του Τομέα Γεωφυσικής του Α.Π.Θ. <http://geophysics.geo.auth.gr/ss/CATALOGS/preliminary/prelcatDB.txt> και
- 2) του Γεωδυναμικού Ινστιτούτου του Εθνικού Αστεροσκοπείου της Αθήνας (<http://bbnet.gein.noa.gr/HL/database>)

Τα δεδομένα αυτά ενοποιήθηκαν ώστε να προκύψει ένας ενιαίος κατάλογος σεισμών μελών της σεισμικής διέγερσης. Ακολούθησε επεξεργασία τους με σκοπό την εκτίμηση της εξέλιξης της σεισμικής διέγερσης, με τη βοήθεια κατάλληλου λογισμικού (Τέζα, 2011, Σκορδύλης και συνεργάτες, 2020).

Συγκεκριμένα μελετήθηκαν:

- 1) Η **χωρική κατανομή** των επικέντρων της ακολουθίας που οριοθετεί το σεισμογόνο χώρο της ακολουθίας,
- 2) Η **κατά μέγεθος κατανομή** των σεισμών-μελών της ακολουθίας που αναδεικνύει το μέγεθος πληρότητας και τις τιμές των παραμέτρων  **$a$**  και  **$b$**  της σχέσης G-R,
- 3) Η μεταβολή του **μέσου μεγέθους** των σεισμών-μελών, προϊούσης της ακολουθίας,
- 4) Η **διαμήκης τομή** του σεισμογόνου χώρου της ακολουθίας που δίνει με καλή προσέγγιση το **μήκος του σεισμογόνου ρήγματος**,
- 5) Η **εγκάρσια τομή** του εστιακού χώρου που αναδεικνύει τη **διεύθυνση και τη γωνία κλίσης** του σεισμογόνου ρήγματος,
- 6) Η **χρονική κατανομή** των σεισμών-μελών που δείχνει την **ομαλή (ή μη) εξέλιξη** της ακολουθίας, όπως αυτή προκύπτει από το ρυθμό εκδήλωσης των σεισμών που την απαρτίζουν,
- 7) Η **χωρο-χρονική κατανομή** των επικέντρων των σεισμών-μελών της ακολουθίας που, σε συνδυασμό με τη χωρική κατανομή (χάρτης σεισμικότητας), οδηγεί στην εξαγωγή

χρήσιμων συμπερασμάτων αναφορικά με τον **τρόπο διάδοσης της διάρρηξης** στο σεισμογόνο ρήγμα.

Από τα έως τώρα δεδομένα προκύπτει ένδειξη ότι το σεισμογόνο ρήγμα έχει διεύθυνση  $\sim 50^\circ$  ΒΑ-ΝΔ. Αυτό βρίσκεται σε σχετικά καλή **συμφωνία με διαθέσιμους μηχανισμούς γένεσης** του σεισμού που δημοσιεύονται από διάφορα σεισμολογικά κέντρα (GCMΤ, USGS, ΝΟΑ, INGV, ΚΟΕRΙ, GFZ κ.ά.):

<https://www.emsc-csem.org/Earthquake/tensors.php>

Οι μηχανισμοί γένεσης των κέντρων αυτών είναι παρεμφερείς μεταξύ τους δείχνοντας **κανονική διάρρηξη** κλίσης με επίπεδο ρήγματος διεύθυνσης  $\sim 37^\circ$  με κλίση  $\sim 43^\circ$  και γωνία ολίσθησης  $-84^\circ$  (σύμφωνα με GCMΤ).

**Το μήκος του σεισμογόνου χώρου** που προκύπτει από το χάρτη επικέντρων αλλά και από τη διαμήκη τομή του σεισμογόνου χώρου της ακολουθίας (όπως αυτός διαμορφώνεται μέχρι τώρα), φαίνεται να είναι της τάξης των **15km**. Ένα ρήγμα αυτής της διάστασης θα δικαιολογούσε, σε περίπτωση διάρρηξης σε ολόκληρο το μήκος του, τη γένεση ενός σεισμού μεγέθους  $\sim 6.0$  (Parazachos et al., 2004) μέγεθος που αντιστοιχεί σε αυτό του μεγαλύτερου σεισμού της ακολουθίας, ως τώρα.

Δεδομένου ότι τα εστιακά βάθη των σεισμών της ακολουθίας δεν είναι ιδιαίτερα ακριβή, δεν είναι δυνατόν να εξαχθούν ακριβή συμπεράσματα από την εγκάρσια τομή του εστιακού χώρου, σχετικά με την διεύθυνση και γωνία κλίσης του σεισμικού ρήγματος.

**Η κατά μέγεθος** κατανομή των σεισμών της ακολουθίας δείχνει τιμή της παραμέτρου  **$b=0.92$**  ενώ η πληρότητα ορίζεται για σεισμούς με  $M \geq 2.6$  και προέκυψε από τα δεδομένα των πρώτων 6 ωρών της διέγερσης. Αυτό έγινε για την ασφαλέστερη εκτίμησή της, δεδομένου ότι κατά τις πρώτες ώρες αρκετοί μικροί σεισμοί της ακολουθίας δεν είναι δυνατόν να διακριθούν και αναλυθούν αφού οι καταγραφές τους «εμπλέκονται» μέσα στις κυματομορφές ισχυρότερων σεισμών των οποίων η συχνότητα είναι αυξημένη.

**Η χρονική** κατανομή των σεισμών της ακολουθίας δείχνει **σταθερή τάση απομείωσης** του ρυθμού τους, γεγονός που υποστηρίζεται και από τη χωρο-χρονική κατανομή τους, ενώ **δεν παρατηρείται συστηματική υπέρβαση** του άνω διαστήματος εμπιστοσύνης, γεγονός που συνηγορεί στον χαρακτηρισμό της εξέλιξης της διέγερσης ως ομαλής.

Ανάλογη εκτίμηση προκύπτει και από τη μεταβολή με το χρόνο του **μέσου μεγέθους** των σεισμών, το οποίο φαίνεται να διατηρείται **σταθερό με τιμή  $M=3.1$** .

Το επίκεντρο του δεύτερου ισχυρότερου (μέχρι στιγμής) σεισμού της διέγερσης που εκδηλώθηκε στις 28 Σεπτεμβρίου (07:48 ώρα Ελλάδας,  $M=5.3$ ) εντοπίζεται εντός του

σεισμογόνου χώρου του κύριου σεισμού της διέγερσης. Τόσο το επίκεντρο όσο και ο μηχανισμός γένεσης του σεισμού αυτού, ο οποίος είναι σχεδόν ταυτόσημος με αυτόν του κύριου σεισμού, συνηγορούν υπέρ της άποψης ότι πρόκειται για ισχυρό μεν, μετασεισμό δε του κύριου σεισμού. Σε ό,τι αφορά το μέγεθός του, η διαφορά των 0.7 μονάδων από το μέγεθος του κύριου σεισμού, αν και μικρή δεν αποκλείει τον χαρακτηρισμό του ως μετασεισμού.

Συμπερασματικά, από τα παραπάνω στοιχεία προκύπτει σαφής εικόνα ομαλά εξελισσόμενης μετασεισμικής ακολουθίας. Το συμπέρασμα αυτό τεκμαίρεται τόσο από τις διαστάσεις του σεισμογόνου χώρου (όπως αυτός διαμορφώνεται μέχρι τώρα) όσο και από την εικόνα της χρονικής, της χωρο-χρονικής και της κατά μέγεθος κατανομής των σεισμών της υπό εξέταση διέγερσης.

Το γεγονός ότι ο ρυθμός εκδήλωσης μετασεισμών μειώνεται σταθερά και η εικόνα ομαλά εξελισσόμενης ακολουθίας δείχνει να παγιώνεται, η καθημερινή ενημέρωση παύει να θεωρείται αναγκαία. Νέα ανάρτηση θα υπάρξει σε περίπτωση ανατροπής αυτής της εικόνας.

Οι χάρτες και τα γραφήματα έγιναν με τη χρήση του ελεύθερου λογισμικού GMT (*Wessel and Smith, 1995*)

Μ. Σκορδύλης  
Π. Τριανταφυλλίδης

### Βιβλιογραφία

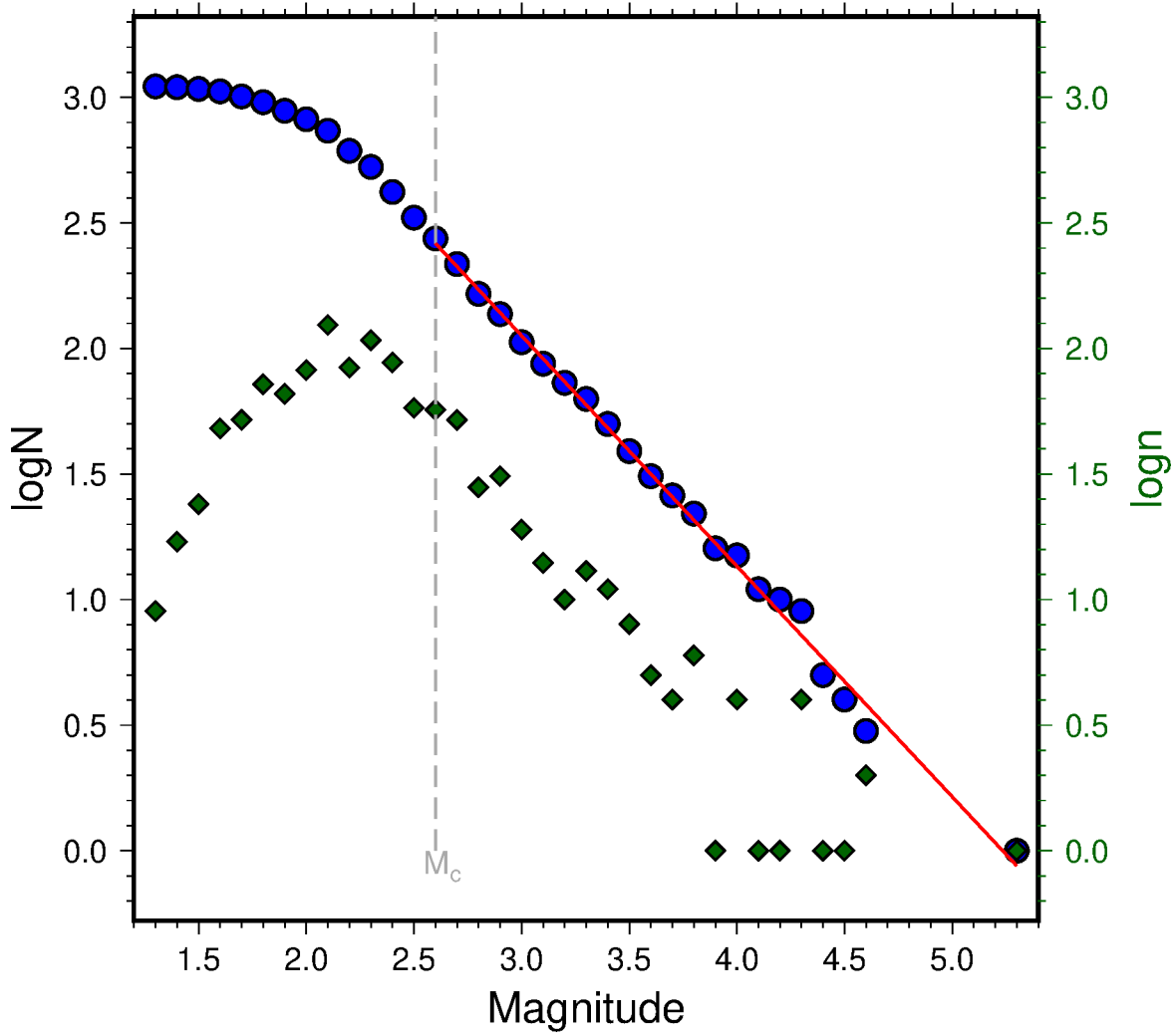
Papazachos, B.C., Scordilis, E.M., Panagiotopoulos, D.G., Papazachos, C.B. and G.F. Karakaisis. Global relations between seismic fault parameters and moment magnitude of earthquakes, *“Bulletin of the Geological Society of Greece”*, XXXVI, 3, 1482-1489, 2004.

Σκορδύλης, Ε.Μ., Π. Τριανταφυλλίδης και Ε. Τέζα. “Λογισμικό για αυτοματοποιημένη παρακολούθηση σε σχεδόν πραγματικό χρόνο (NRT) εξέλιξης σεισμικών διεγέρσεων και εξαγωγή συμπερασμάτων για πιθανή εξέλιξή τους”. *Τελική έκθεση στο πλαίσιο συμμετοχής του ΑΠΘ στην υποδομή Hellenic Observing System (HELPOS) της Πράξης «ΕΝΙΣΧΥΣΗ ΤΩΝ ΥΠΟΔΟΜΩΝ ΕΡΕΥΝΑΣ ΚΑΙ ΚΑΙΝΟΤΟΜΙΑΣ»*, 68 σελ., 2020.

Τέζα, Ε., Αυτοματοποιημένη διαδικασία παρακολούθησης και εκτίμησης της εξέλιξης σεισμικών εξάρσεων, *“Διατριβή Ειδίκευσης”*, Α.Π.Θ., σελ. 190, 2011.

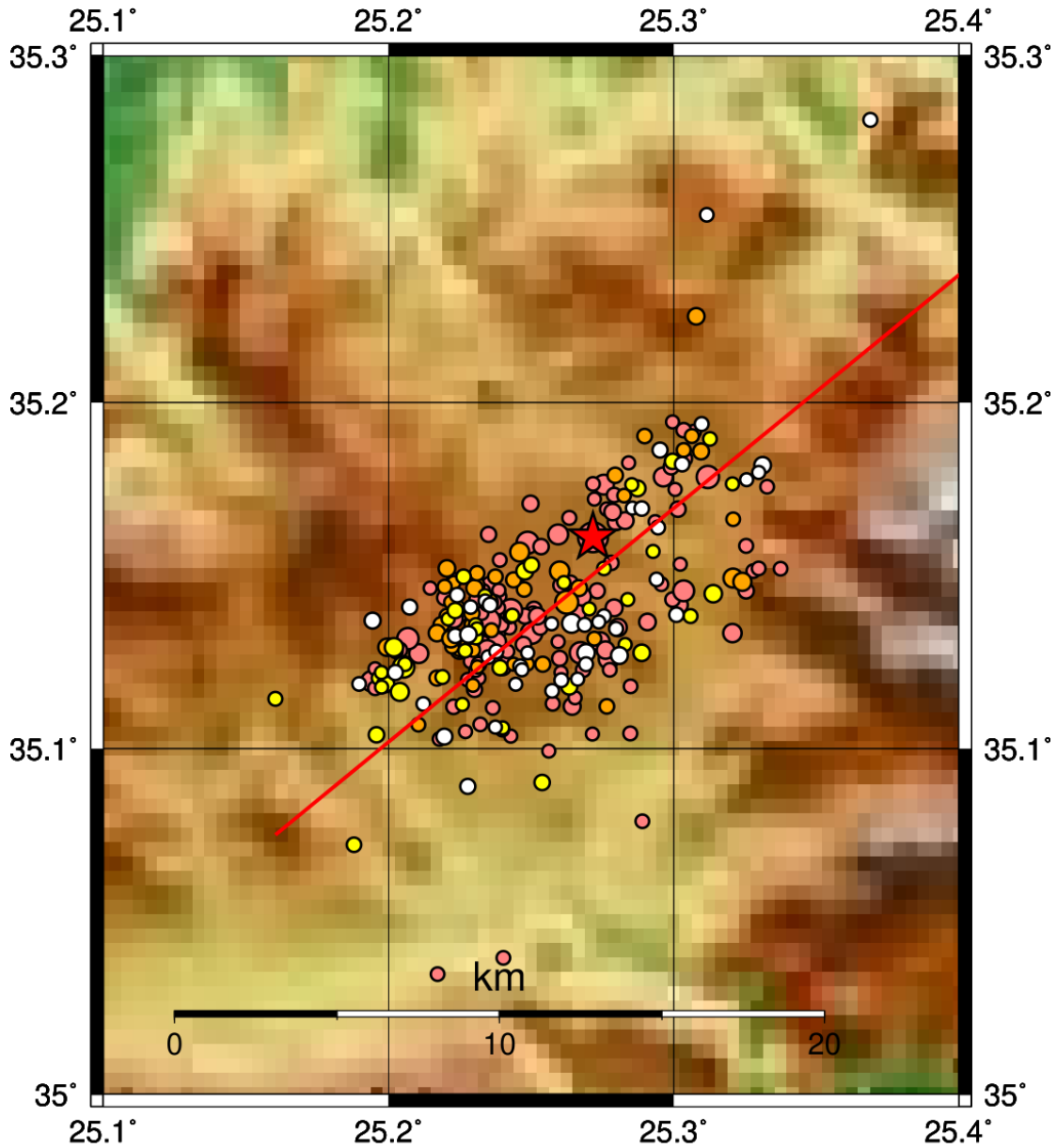
Wessel, P. and Smith, W., New version of the Generic Mapping Tools, *“EOS”*, 76-329, 1995.

# Gutenberg–Richter Distribution



$\log N = 4.81 - 0.92 * M$				
$M_c = 2.6$	$\alpha = 4.81$	$b = 0.92$	$R^2 = 0.995$	$\sigma = 0.045$

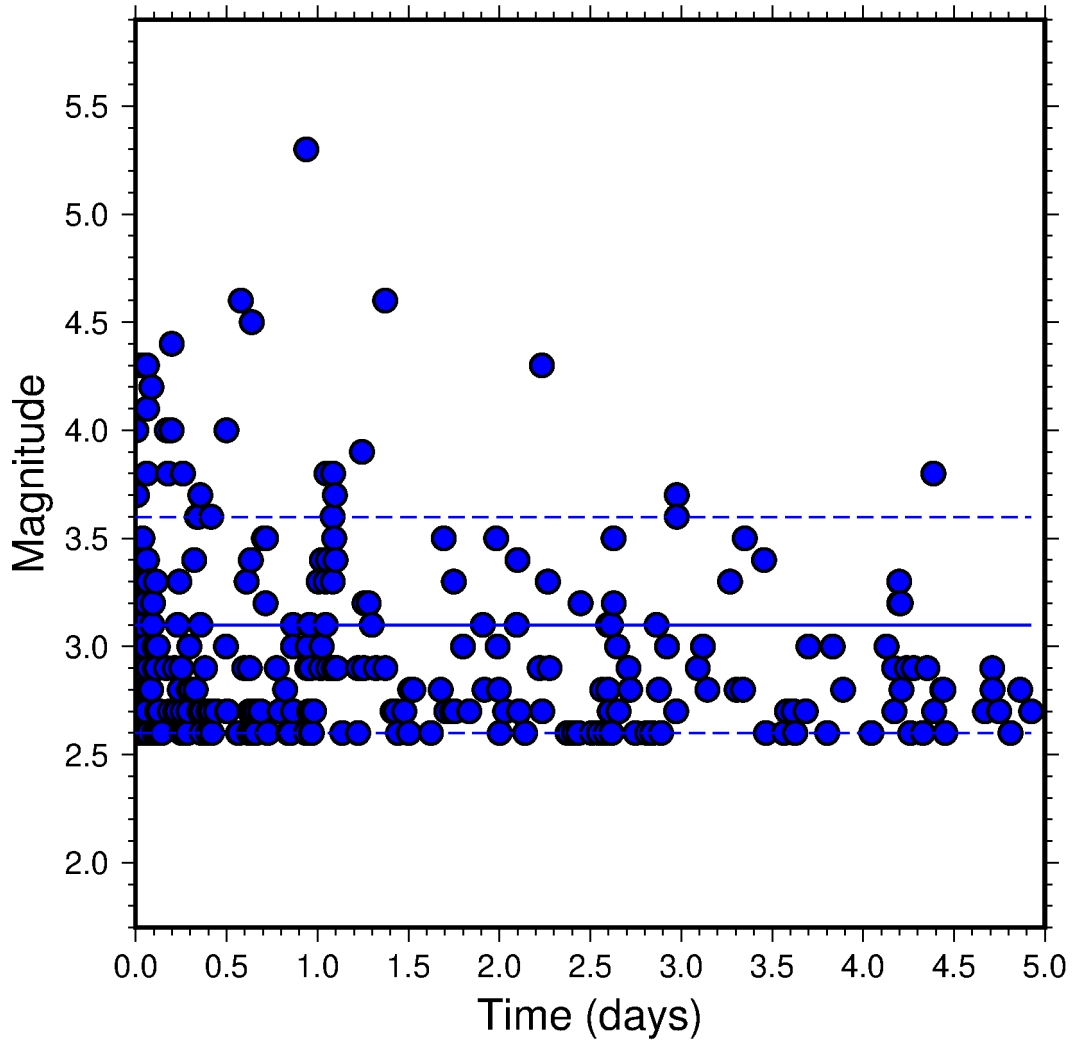
# Seismicity Map



★ Main shock, Date: 27/09/2021, Time: 06:17:21 (UTC), Mw=6.0

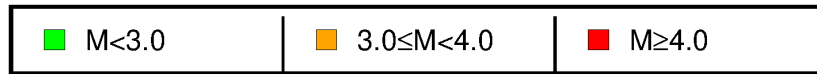
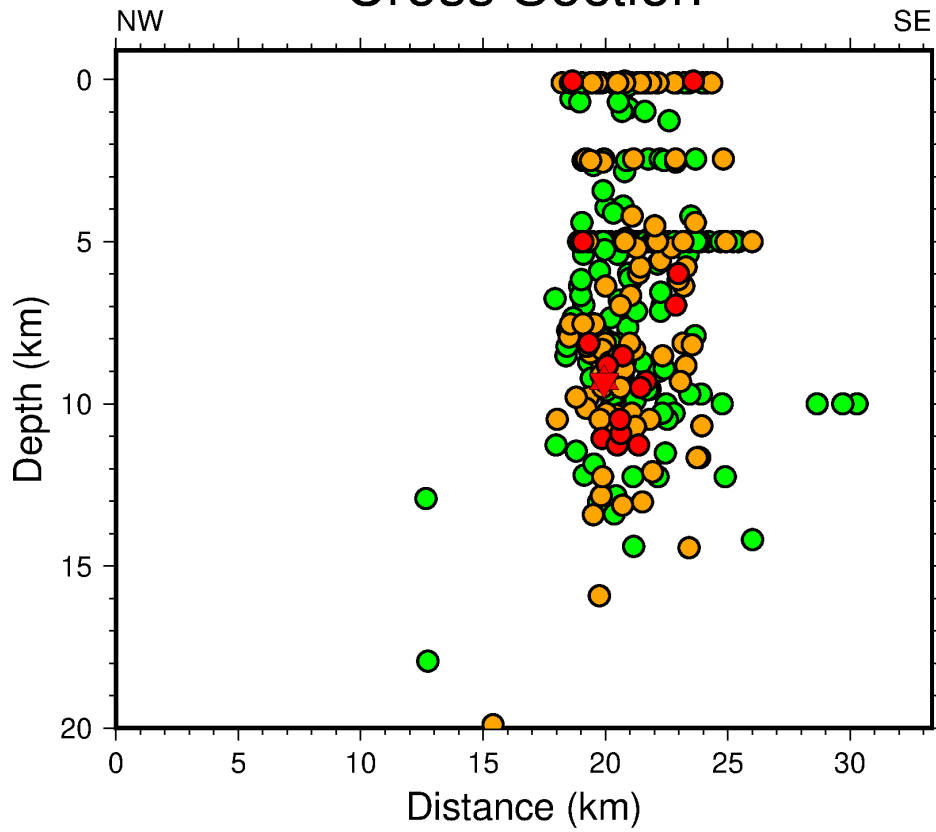
Latitude	Longitude	Depth	Azimuth
35.161° N	25.272° E	9 km	50.4°
● first 24 hrs	● 24–48 hrs	● 48–72 hrs	○ after 72 hrs
○ M<3.5	○ 3.5≤M<4.5	○ 4.5≤M<5.5	○ M≥5.5

# Mean Magnitude Distribution

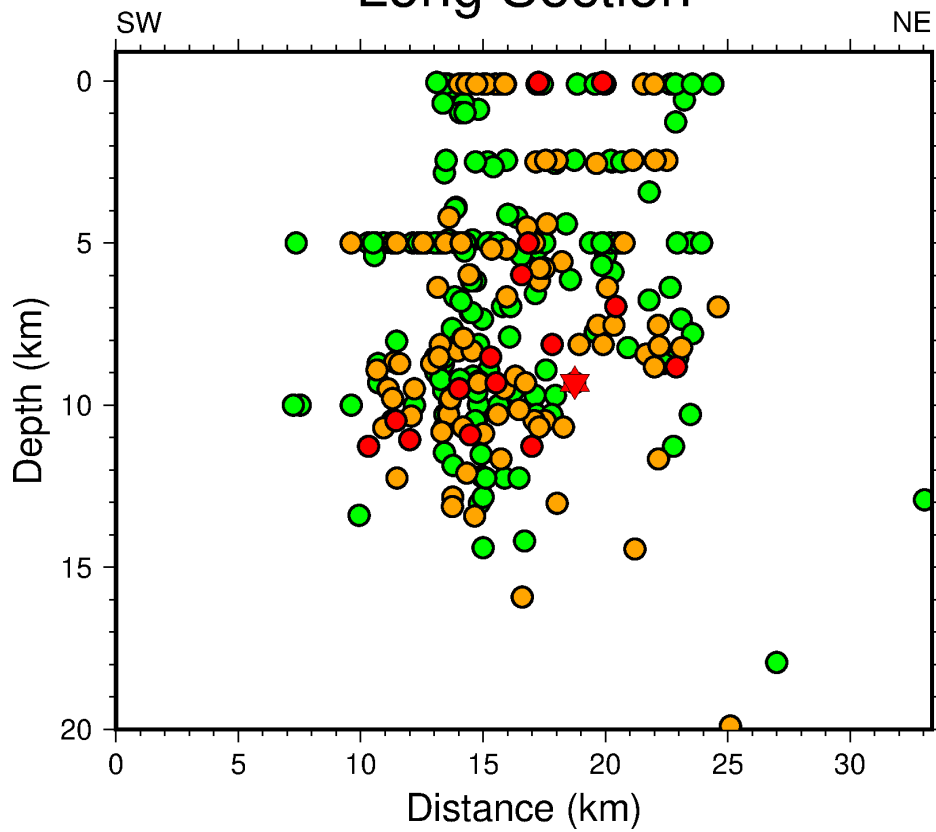


Time period: 120h	Mean Magnitude = 3.1	SD = 0.499
-------------------	----------------------	------------

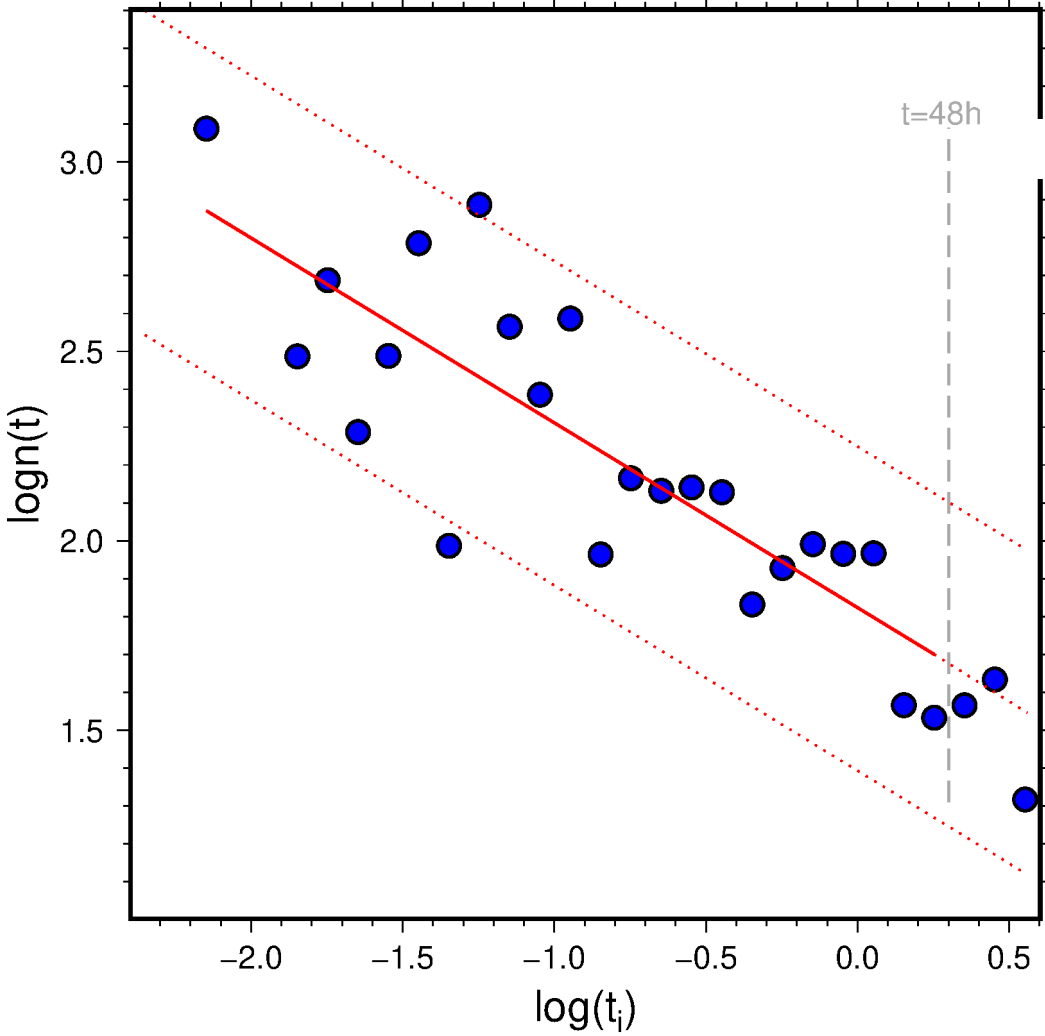
# Cross Section



# Long Section



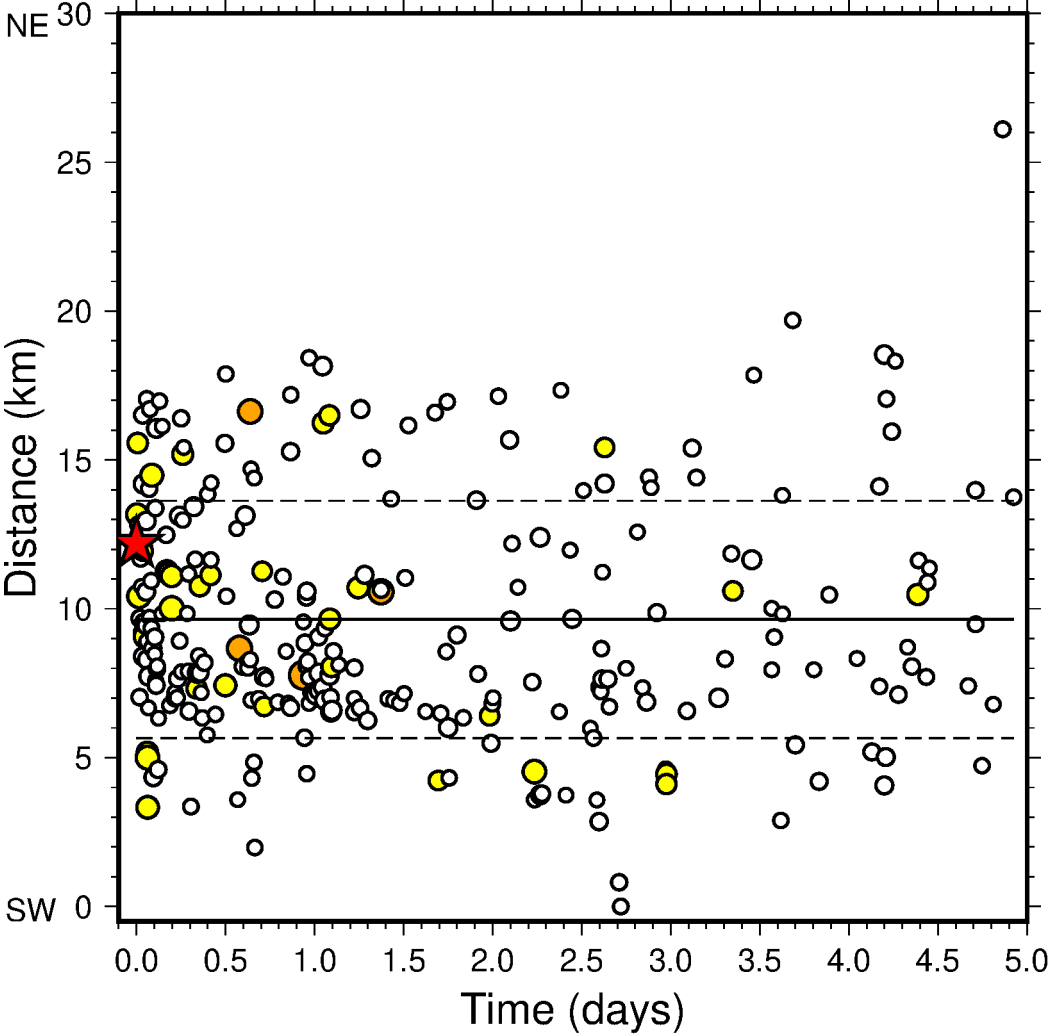
# Time Distribution



$\log n(t) = 1.82 - 0.49 \cdot \log(t_i)$				
first 120h	$\alpha = 1.82$	$p = 0.49$	$R^2 = 0.697$	SD = 0.428



# Space-Time Distribution



<b>Estimated fault length: 14.97 km (approx.) Azimuth: 50.4°</b>			
□ M < 3.5	■ 3.5 ≤ M < 4.5	■ 4.5 ≤ M < 5.5	■ M ≥ 5.5